

## REGIONE CAMPANIA PROVINCIA DI AVELLINO

COMUNE DI FRIGENTO
COMUNE DI GUARDIA LOMBARDI
COMUNE DI ROCCA SAN FELICE
COMUNE DI STURNO
COMUNE DI BISACCIA



# AUTORIZZAZIONE UNICA ex d.lgs. 387/2003

Costruzione ed esercizio di un impianto di produzione di energia elettrica da fonte eolica denominato "Taverna del Principe" da realizzarsi nel comune di FRIGENTO (AV) e delle opere ed infrastrutture connesse da realizzarsi nei comuni di FRIGENTO (AV), GUARDIA LOMBARDI (AV), ROCCA SAN FELICE (AV), STURNO (AV) e BISACCIA (AV), avente potenza nominale pari a 39,6 MW

Titolo elaborato

## Studio sugli effetti dello shadow flickering

#### Codice elaborato

| COMMESSA | FASE | ELABORATO | REV. |
|----------|------|-----------|------|
| F0474    | Α    | R07       | Α    |

Riproduzione o consegna a terzi solo dietro specifica autorizzazione.

Scala

| _ |  |
|---|--|
|   |  |

| Gennaio 2022 | Prima emissione | FTR     | GDS        | GMA       |
|--------------|-----------------|---------|------------|-----------|
| DATA         | DESCRIZIONE     | REDATTO | VERIFICATO | APPROVATO |

### Proponente

#### Camelia Rinnovabili s.r.l.

Largo Augusto 3 20122 Milano



#### Progettazione



## F4 Ingegneria srl

Via Di Giura - Centro direzionale, 85100 Potenza Tel: +39 0971 1944797 - Fax: +39 0971 55452 www.f4ingegneria.it - f4ingegneria@pec.it

Il Direttore Tecnico (ing. Giovanni DI SANTO)





Società certificata secondo la norma UNI-EN ISO 9001:2015 per l'erogazione di servizi di ingegneria nei settori: civile, idraulica, acustica, energia, ambiente (settore IAF: 34).



## **Sommario**

| 1 | Introduzione                        | 2  |
|---|-------------------------------------|----|
| 2 | Il fenomeno dello shadow flickering | 3  |
| 3 | Individuazione dei ricettori        | 6  |
| 4 | Modello di calcolo                  | 10 |
| 5 | Risultati                           | 12 |

Camelia Rinnovabili S.r.l.



## 1 Introduzione

La presente relazione ha l'obiettivo di illustrare il fenomeno dello "shadow flickering" e di valutare il suo effetto nell'area circostante determinato dalla realizzazione dell'impianto "Taverna del Principe", da realizzarsi nel territorio comunale di Frigento, in provincia di Avellino, da parte della società **Camelia Rinnovabili Srl**, con sede legale in Largo Augusto 3 20122 Milano, in qualità di proponente.

Il gruppo BayWa r.e. GmbH rappresenta un'azienda globale leader nel settore dell'energia rinnovabile che si occupa di sviluppo di progetti, fornitura di servizi, distribuzione di materiale ed erogazione di soluzioni energetiche. Ad oggi ha portato in rete più di 3.5 GW di energia a livello globale e gestisce oltre 8.5 GW di impianti. Collabora con imprese di tutto il mondo per ridurre il loro impatto ambientale e diminuire i loro costi energetici. BayWa r.e. è uno dei principali fornitori nel mercato della distribuzione di materiale per l'energia solare ed è il partner preferito da migliaia di installatori. In Germania, dispone di un'attività di trading di energia in rapida crescita e fornisce decine di migliaia di clienti. BayWa r.e. fa parte del Gruppo BayWa da 17.1 miliardi di € di fatturato. Da oltre 90 anni BayWa fornisce soluzioni leader nel mercato nei settori agricolo, energetico ed edile. BayWa r.e. Italia S.r.l. possiede aziende che sviluppano progetti, forniscono servizi di investimento e gestione per progetti di energia eolica e fotovoltaica efficaci e sostenibili. Le competenze del management, basate più di 15 anni di esperienza nell'industria dell'energia eolica, comprendono l'identificazione, lo sviluppo di progetti, la gestione delle pratiche autorizzative, il finanziamento, l'approvvigionamento, la costruzione e la gestione di parchi eolici e fotovoltaici.

Il parco in oggetto sarà costituito da 6 aerogeneratori di potenza unitaria pari a 6.6 MW, per una potenza complessiva di 39.6 MW.

Studio sugli effetti dello shadow flickering



## 2 II fenomeno dello shadow flickering

Gli aerogeneratori, al pari di tutte le altre strutture fortemente sviluppate in altezza, proiettano un'ombra sulle aree circostanti in presenza di irraggiamento solare diretto.

Lo shadow flickering (letteralmente ombreggiamento intermittente) è l'espressione comunemente impiegata per descrivere una fluttuazione periodica dell'intensità luminosa osservata. Tale effetto (stroboscopico) è causato dalla proiezione, su una generica superficie, dell'ombra indotta da oggetti in movimento. Nel caso specifico di un impianto eolico il fenomeno è generato dalla proiezione, al suolo o su un ricettore (abitazione), dell'ombra prodotta dalle pale degli aerogeneratori in rotazione allorquando il sole si trova alle loro spalle (cfr. figura successiva).

Il fenomeno, dal punto di vista di un potenziale ricettore, si traduce in una variazione alternata e ciclica di intensità luminosa che, a lungo andare, può provocare fastidio agli occupanti delle abitazioni le cui finestre risultano esposte al fenomeno stesso. Il fenomeno, ovviamente, risulta assente sia quando il sole è oscurato da nuvole o dalla nebbia, sia quando, in assenza di vento, le pale dell'aerogeneratore non sono in rotazione.

In particolare, le frequenze che possono provocare un senso di fastidio sono comprese tra i 2.5 ed i 20 Hz (Verkuijlen and Westra, 1984), e, l'effetto sugli individui è simile a quello che si sperimenterebbe in seguito alle variazioni di intensità luminosa di una lampada ad incandescenza a causa di continui sbalzi della tensione della rete di alimentazione elettrica.

I più recenti aerogeneratori tripala operano ad una velocità di rotazione di molto inferiore ai 35 giri al minuto, corrispondente ad una frequenza di passaggio delle pale sulla verticale inferiore a 1.75 Hz, minore, quindi, della frequenza critica di 2.5 Hz riportata in letteratura. Inoltre, i generatori di grande potenza (dal MW in su) raramente superano la velocità di rotazione di 15 giri al minuto, corrispondente a frequenze di passaggio delle pale ampiamente minori di quelle ritenute fastidiose per la maggioranza degli individui.

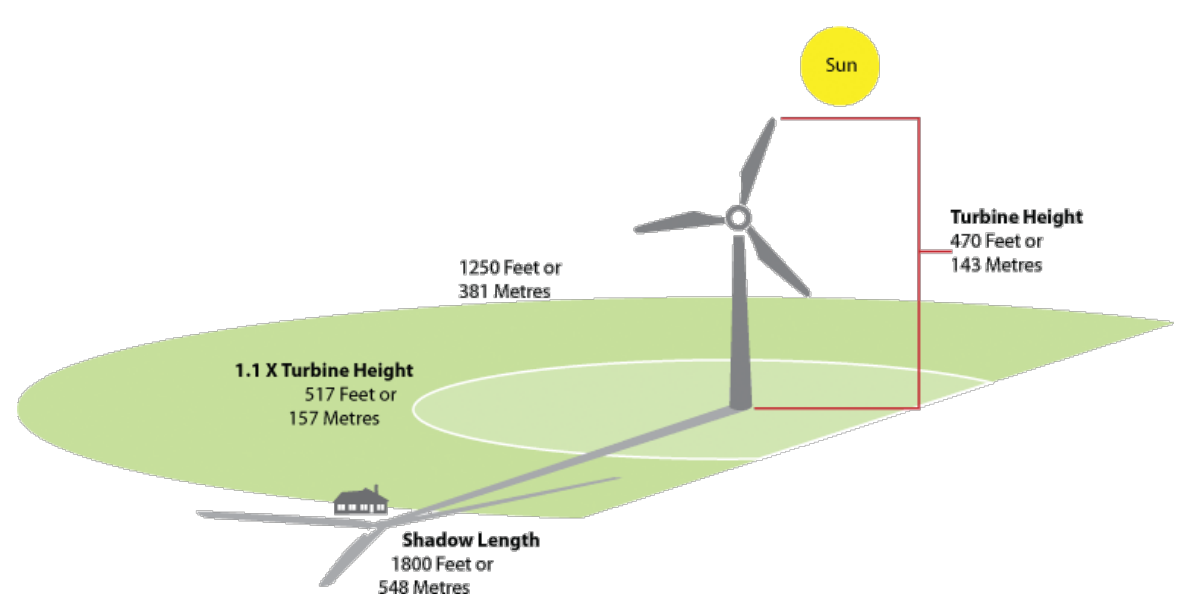


Figura 1: rappresentazione schematica del fenomeno dello shadow flicker

Tale fenomeno, se sperimentato da un ricettore per periodi di tempo prolungati, può generare un disturbo, nelle seguenti condizioni:

- presenza di un livello sufficiente di intensità luminosa, ovvero in condizioni di cielo sereno sgombro da nubi ed in assenza di nebbia e con sole alto rispetto all'orizzonte;
- assenza di ostacoli sulla congiungente ricettore aerogeneratore: la presenza di vegetazione e/o edifici interposti all'ombra generata da questi ultimi annullerebbe il fenomeno. Quindi, condizione favorevole affinché il fenomeno in esame si verifichi, è quella rappresentata dall'orientamento perpendicolare delle finestre di un'abitazione rispetto alla linea congiungente il ricettore all'aerogeneratore in assenza di ostacoli fisici (alberi, altri edifici ecc...);
- orientamento perpendicolare del rotore rispetto alla congiungente sole ricettore: infatti, quando il piano del rotore è perpendicolare alla linea sole-ricettore, l'ombra proiettata dalle pale risulta muoversi all'interno di un "disco" che induce un effetto non trascurabile di shadow flickering; viceversa, nel caso in cui il piano del rotore risulti essere in linea con il sole, l'ombra proiettata risulterebbe molto assottigliata e di bassa intensità per cui l'effetto di shadow flickering sarebbe del tutto trascurabile.

Inoltre, affinché lo shadow flickering, abbia un'intensità non trascurabile è necessario che:

- le pale del rotore siano ovviamente in rotazione;
- I'aerogeneratore ed il potenziale ricettore non siano troppo distanti: infatti, le ombre proiettate in prossimità dell'aerogeneratore risultano di maggiore intensità rispetto a quelle proiettate ad una distanza crescente. Tale condizione deriva dal fatto che in presenza di un ricettore molto prossimo all'aerogeneratore, una porzione ampia di pala copre il disco solare così come osservato dal punto di vista del ricettore stesso, e, quindi, l'intensità del flicker risulta maggiormente percepibile. All'aumentare della distanza tra aerogeneratore e ricettore, le pale, durante il loro moto di rotazione, andranno a coprire una porzione sempre più piccola del disco solare, inducendo un effetto di flicker di minore intensità.

Alla luce di quanto sopra esposto, le relazioni spaziali tra un aerogeneratore ed un ricettore (abitazione), così come la direzione del vento risultano essere fattori chiave per la durata del fenomeno di shadow flicker. Per distanze dell'ordine dei 400-500 m, il fenomeno in esame potrebbe verificarsi all'alba oppure al tramonto, ovvero in quelle ore in cui le ombre risultano molto lunghe e la radiazione diretta è di minore intensità per effetto della piccola elevazione solare. Al di là di una certa distanza l'ombra smette di essere un problema perché il rapporto tra lo spessore della pala ed il diametro apparente del sole diventa molto piccolo. Quindi, come è facile immaginare, la condizione più penalizzante corrisponde al caso in cui il piano del rotore risulti ortogonale alla congiungente ricettore – sole; infatti, in tali condizioni, l'ombra proiettata darà origine ad un cerchio di diametro pari a quello del rotore del generatore eolico.

Sebbene il fenomeno possa essere percepito anche all'esterno, esso risulta evidente e fastidioso in quegli ambienti con finestrature rivolte verso le ombre. In generale, l'area soggetta a shadow flicker non si estende oltre i 500÷1000 m dall'aerogeneratore e le zone a maggiore impatto ricadono entro i 500 m di distanza dalle macchine con durata del fenomeno dell'ordine delle 200 ore all'anno; il flickering, se presente, non supera in genere i 30/40 minuti di durata potenziale nell'arco di una giornata.

L'intensità del fenomeno è definita come la differenza di luminosità che si percepisce in presenza ed in assenza di flickering in una data posizione. In definitiva, si può affermare che:

- avendo le pale una forma rastremata con lo spessore che cresce verso il mozzo; il fenomeno risulterà tanto più intenso quanto maggiore sarà la porzione di disco solare coperta dalla pala stessa e quanto minore la distanza dal ricettore;
- l'intensità del flickering sarà minima quando l'ombra prodotta è generata all'estremità delle pale;
- maggiori distanze tra generatore e ricettore determinano ombre meno nette; in tal caso l'effetto flickering risulterà meno intenso e distinto.

La presente relazione ha lo scopo di stimare le aree potenzialmente interessate dal fenomeno in relazione agli aerogeneratori che costituiscono il parco eolico in oggetto.

Nello specifico, quando si valuta l'impatto da shadow flickering, lo stesso può essere realizzato attraverso l'analisi di due casi specifici:

- il **worst case**, in cui viene valutata la massima durata del fenomeno, ovvero quella astronomica, che corrisponde alle condizioni di cielo sempre sgombro da nubi, di rotore in movimento continuo e di perpendicolarità tra quest'ultimo ed il potenziale ricettore;
- il *real case*, in cui viene valutata la durata realistica del fenomeno, tenendo conto del soleggiamento effettivo dell'area e delle specifiche condizioni anemologiche che determinano la reale operabilità degli aerogenertori.

## 3 Individuazione dei ricettori

Allo scopo di valutare l'impatto indotto sugli edifici da parte dell'impianto eolico in progetto, sono stati individuati i recettori potenzialmente sensibili presenti in un'areale corrispondente all'inviluppo delle aree buffer circolari di raggio pari a 10 volte il diametro del rotore (nel caso in esame 1700 m) del modello di aerogeneratore previsto in progetto (D pari a 170 m al massimo), con centro coincidente con le postazioni delle WTG in oggetto; ciò in accordo con quanto stabilito dalla "National Policy Statement for Renewable Energy Infrastructure (EN -3)" (UK, 2011) (PPS22 per l'Inghilterra, TAN8 per il Galles), secondo la quale è improbabile che si verifichi un impatto significativo da shadow flickering a distanze superiori a dieci volte il diametro del rotore.

Sebbene il fenomeno possa essere percepito anche all'esterno degli edifici, esso risulta evidente e potenzialmente fastidioso in quegli ambienti con finestrature localizzate lungo la direttrice sole-aerogeneratore e, per tale ragione, si è considerato nella simulazione la presenza di finestre di altezza pari a 1.5 metri e larghezza pari ad 1 metro, posizionate ad una quota dal suolo di 2 metri e disposte su tutte le facciate degli edifici considerati, in direzione dei quattro punti cardinali (N-E-S-W).

Di seguito sono riportati i riferimenti geografici dei potenziali recettori individuati nel buffer sopra specificato.

| Ricettori | Coordinate UTN | /I-WGS 84 fuso 33 | Categoria Catastale | Comune   |
|-----------|----------------|-------------------|---------------------|----------|
|           | Est            | Nord              |                     |          |
| R1        | 512485         | 4539931           | A/3                 | Sturno   |
| R2        | 512627         | 4539830           | A/3                 | Sturno   |
| R3        | 512639         | 4539831           | A/4 - C/2           | Sturno   |
| R4        | 513406         | 4539747           | A/4                 | Frigento |
| R5        | 513687         | 4539898           | A/4                 | Frigento |
| R6        | 512547         | 4539393           | A/3 - C/6           | Sturno   |
| R7        | 513442         | 4539074           | A/4                 | Frigento |
| R8        | 513231         | 4538853           | A/4                 | Frigento |
| R9        | 513598         | 4538859           | A/4                 | Frigento |
| R10       | 513389         | 4536762           | A/4 - C/2           | Frigento |
| R11       | 513269         | 4536705           | A/4                 | Frigento |
| R12       | 513281         | 4536679           | A4-C2-F3            | Frigento |
| R13       | 513363         | 4536566           | A/2                 | RSFelice |
| R14       | 513391         | 4536514           | A/4 - C/2           | RSFelice |
| R15       | 513463         | 4536354           | A/4 - C/2           | RSFelice |
| R16       | 513866         | 4536396           | A/4 - C/2           | RSFelice |



| Ricettori | Coordinate UTM-WGS 84 fuso 33 |         | Categoria Catastale | Comune           |
|-----------|-------------------------------|---------|---------------------|------------------|
|           | Est                           | Nord    |                     |                  |
| R17       | 514341                        | 4536804 | A/2 - C/6           | RSFelice         |
| R18       | 514279                        | 4536909 | A/4 - C/2           | RSFelice         |
| R19       | 512509                        | 4540221 | A/4                 | RSFelice         |
| R20       | 512649                        | 4540135 | A/2                 | RSFelice         |
| R21       | 512711                        | 4540166 | A/4 -C/2-6          | RSFelice         |
| R22       | 512508                        | 4540035 | A/4 -C/2-6          | RSFelice         |
| R23       | 512509                        | 4539994 | A/2                 | RSFelice         |
| R24       | 512189                        | 4539949 | A/2                 | RSFelice         |
| R25       | 512221                        | 4539852 | A/4                 | Sturno           |
| R26       | 512280                        | 4539748 | A/3                 | Sturno           |
| R27       | 512232                        | 4539676 | A/4                 | Sturno           |
| R28       | 512146                        | 4538073 | A/3                 | Sturno           |
| R29       | 512150                        | 4538049 | A/3 - C/2           | Sturno           |
| R30       | 512149                        | 4537927 | A/3                 | Sturno           |
| R31       | 512105                        | 4537822 | A/3                 | Sturno           |
| R32       | 514568                        | 4536505 | A/4                 | Sturno           |
| R33       | 514519                        | 4536584 | D/10                | Sturno           |
| R34       | 514563                        | 4536649 | A/4                 | Sturno           |
| R35       | 514568                        | 4536669 | A/3                 | Sturno           |
| R36       | 514621                        | 4536718 | A/3 - C/6           | Sturno           |
| R37       | 514600                        | 4536723 | A/3-C/2             | Sturno           |
| R38       | 514605                        | 4536729 | A/2                 | Frigento         |
| R39       | 512604                        | 4540437 | A/2                 | Frigento         |
| R40       | 512249                        | 4540251 | A/4                 | Frigento         |
| R41       | 511733                        | 4540393 | A/4                 | Frigento         |
| R42       | 511679                        | 4540369 | A/4 - C/2           | Rocca San Felice |
| R43       | 512091                        | 4540052 | A/2 - C/2           | Rocca San Felice |
| R44       | 515171                        | 4539896 | A/4                 | Rocca San Felice |
| R45       | 515164                        | 4539892 | A/4 - C/6           | Rocca San Felice |
| R46       | 515159                        | 4539890 | A/2 - C/2           | Rocca San Felice |
| R47       | 515104                        | 4539867 | A/4 - C/2           | Rocca San Felice |
| R48       | 511559                        | 4539379 | A/4 - C/2           | Rocca San Felice |
| R49       | 511600                        | 4539091 | A/4                 | Sturno           |
| R50       | 511550                        | 4539070 | A/4                 | Sturno           |
| R51       | 511493                        | 4539057 | A/3                 | Sturno           |
| R52       | 511472                        | 4539078 | A/4 - C/6           | Sturno           |
| R53       | 511451                        | 4539073 | A/4 - C/6           | Sturno           |
| R54       | 511557                        | 4538969 | A/4                 | Frigento         |
| R55       | 511643                        | 4538949 | A/4                 | Frigento         |
| R56       | 511572                        | 4538920 | A/4 - C/2           | Frigento         |
| R57       | 511563                        | 4538890 | A/4                 | Frigento         |



| Ricettori | Coordinate UTM-WGS 84 fuso 33 |         | Categoria Catastale | Comune           |
|-----------|-------------------------------|---------|---------------------|------------------|
|           | Est                           | Nord    |                     |                  |
| R58       | 511539                        | 4538889 | A/4                 | Frigento         |
| R59       | 511994                        | 4538167 | A/4 - C/2           | Frigento         |
| R60       | 511566                        | 4537881 | A/2 - C/6           | Frigento         |
| R61       | 511644                        | 4537777 | A/4                 | Frigento         |
| R62       | 511614                        | 4537774 | A/2 - C/6           | Frigento         |
| R63       | 511473                        | 4537691 | A/2 - C/2           | Frigento         |
| R64       | 511527                        | 4537630 | A/4                 | Frigento         |
| R65       | 511576                        | 4537724 | A/4                 | Frigento         |
| R66       | 511578                        | 4537673 | C/2 - A/2           | Frigento         |
| R67       | 511454                        | 4537604 | C/2 - A/2           | Frigento         |
| R68       | 511487                        | 4537591 | A/4                 | Frigento         |
| R69       | 511617                        | 4537548 | A/4                 | Frigento         |
| R70       | 512306                        | 4536726 | A/4 - C/2           | Frigento         |
| R71       | 512265                        | 4536565 | A/2-C1-2-3          | Frigento         |
| R72       | 512289                        | 4536535 | A/2                 | Frigento         |
| R73       | 512326                        | 4536541 | A/4                 | Frigento         |
| R74       | 512386                        | 4536798 | A/2-C/1-6           | Frigento         |
| R75       | 512698                        | 4536571 | A/4                 | Frigento         |
| R76       | 512664                        | 4536537 | C/2 - A/2           | Frigento         |
| R77       | 512733                        | 4536500 | A/4                 | Frigento         |
| R78       | 512227                        | 4536312 | C/2 - A/4           | Frigento         |
| R79       | 514462                        | 4535727 | C/2 - A/2           | Frigento         |
| R80       | 514796                        | 4536497 | A/4-C/2-6           | Rocca San Felice |
| R81       | 514772                        | 4536932 | A/4 - C/6           | Rocca San Felice |
| R82       | 514976                        | 4536767 | A/2 - C/2           | Rocca San Felice |
| R83       | 514999                        | 4536747 | A/2                 | Rocca San Felice |
| R84       | 515013                        | 4536772 | A/4 - C/6           | Rocca San Felice |
| R85       | 515010                        | 4536798 | A/4                 | Rocca San Felice |
| R86       | 514874                        | 4537088 | A/2 - C/2           | Rocca San Felice |
| R87       | 514936                        | 4537188 | A/4-C/2-6           | Rocca San Felice |
| R88       | 514887                        | 4537190 | A/4                 | Rocca San Felice |
| R89       | 514890                        | 4537202 | A/4                 | Rocca San Felice |
| R90       | 514846                        | 4537176 | A/4 - C/2           | Rocca San Felice |
| R91       | 514899                        | 4537249 | D/10 - C/3          | Guardia Lombardi |
| R92       | 514994                        | 4537231 | A/4                 | Guardia Lombardi |
| R93       | 515282                        | 4537294 | A/4                 | Guardia Lombardi |
| R94       | 515174                        | 4537348 | A/4                 | Guardia Lombardi |
| R95       | 515007                        | 4537411 | A/4                 | Guardia Lombardi |
| R96       | 515062                        | 4537465 | A/2 - C/2           | Guardia Lombardi |
| R97       | 515183                        | 4537397 | A/4 - C/2           | Guardia Lombardi |
| R98       | 515254                        | 4537511 | A/4                 | Guardia Lombardi |

| Ricettori | Coordinate UTN | /I-WGS 84 fuso 33 | Categoria Catastale Comune | Comune           |
|-----------|----------------|-------------------|----------------------------|------------------|
|           | Est            | Nord              |                            |                  |
| R99       | 511380         | 4537653           | A/4 - C/6                  | Guardia Lombardi |
| R100      | 511389         | 4537636           | A/4 - C/6                  | Guardia Lombardi |
| R101      | 511414         | 4538936           | A/2 - C/6                  | Guardia Lombardi |
| R102      | 511411         | 4538969           | A/4 - C/2                  | Guardia Lombardi |
| R103      | 511423         | 4538883           | A/4                        | Guardia Lombardi |
| R104      | 511336         | 4539664           | A/4                        | Guardia Lombardi |
| R105      | 515330         | 4536339           | A/4 -C/2-6                 | Guardia Lombardi |
| R106      | 515062         | 4537465           | A/2 - C/2                  | Guardia Lombardi |
| R107      | 515183         | 4537397           | A/2                        | Guardia Lombardi |
| R108      | 515254         | 4537511           | A/4 - C/6                  | Guardia Lombardi |
| R109      | 511380         | 4537653           | C/2 - A/4                  | Frigento         |
| R110      | 511389         | 4537636           | C/2 - A/4                  | Frigento         |
| R111      | 511414         | 4538936           | A/4                        | Frigento         |
| R112      | 511411         | 4538969           | A/4-C/6                    | Frigento         |
| R113      | 511423         | 4538883           | A/4-C/6                    | Frigento         |
| R114      | 511336         | 4539664           | A/4                        | Frigento         |
| R115      | 515330         | 4536339           | A/4                        | Guardia Lombardi |

Tabella 1: ricettori considerati nella presente analisi

La seguente tabella riporta le coordinate degli aerogeneratori previsti in progetto (D max 170 m, h Hub 115 m).

Tabella 2: coordinate aerogeneratori di progetto

|     | Coordinate UTM-WGS84 fuso 33 |           |  |  |
|-----|------------------------------|-----------|--|--|
| WTG | Est                          | Nord      |  |  |
| F01 | 513704.0                     | 4539469.0 |  |  |
| F02 | 513015.4                     | 4539500.3 |  |  |
| F03 | 513527.4                     | 4538307.5 |  |  |
| F04 | 513077.2                     | 4537699.2 |  |  |
| F05 | 513497.0                     | 4537532.0 |  |  |
| F06 | 513760.3                     | 4536859.1 |  |  |

## 4 Modello di calcolo

L'analisi dell'impatto da shadow flickering prodotto da un parco eolico è realizzata, generalmente, attraverso l'impiego di specifici applicativi che modellano il fenomeno in esame. I pacchetti software impiegati comunemente per la progettazione di impianti eolici contengono moduli specifici per il calcolo e l'analisi del fenomeno di flickering.

L'analisi si basa necessariamente sull'impiego di un modello digitale del terreno dell'area oggetto di progettazione, sulle posizioni (E, N, quota) degli aerogeneratori e dei potenziali ricettori sensibili, nonché sui dati che correlano la posizione del sole nell'arco dell'anno con le condizioni operative delle turbine nello stesso arco di tempo.

Al fine di calcolare la posizione relativa del sole nell'arco di un anno rispetto al parco eolico ed ai ricettori è necessario definire la longitudine, la latitudine ed il fuso orario dell'area interessata dal progetto (coordinate baricentriche del dominio di alcolo).

Nello specifico, nel presente studio, è stato impiegato il modulo shadow flickering del software WindFarm 5.0.1.2 (ReSoft Limited©). Esso consente di analizzare la posizione del sole nell'arco di un anno allo scopo di identificare i tempi in cui ogni aerogeneratore può proiettare ombre sulle finestre delle abitazioni vicine. In particolare, il modello permette di:

- calcolare il potenziale per le ombre intermittenti alle finestre delle abitazioni;
- mostrare un calendario grafico degli eventi di flickering;
- mostrare un elenco dettagliato di ciascun evento di ombreggiamento (ora di inizio, di fine, durata del fenomeno, aerogeneratore/i coinvolti ecc...);
- creare mappe di impatto potenziale che mostrano le ore d'ombra intermittente per l'intero parco eolico o per le singole macchine (curve di isodurata) nell'arco dell'anno.

Al di là di una certa distanza, come già osservato, l'ombra smette di essere un problema perché il rapporto tra lo spessore della pala e il diametro apparente del disco solare diventa piccolo. Poiché non vi è un valore generalmente accettato per questa distanza massima, WindFarm permette di specificare il limite in metri o multipli del diametro o dell'altezza complessiva del generatore eolico.

Come accennato sopra, nel caso in esame, per quanto concerne le simulazioni effettuate, si è assunta una distanza massima di influenza del fenomeno in esame pari a 10 volte il diametro dell'aerogeneratore di progetto (1700 m) ed un angolo minimo di altezza del sole sull'orizzonte pari a 3°. Tali assunzioni di input al modello risultano molto conservative in relazione a quanto espresso sopra in termini teorici in riferimento al fenomeno di shadow flickering.

In particolare, il modello numerico utilizzato, al pari degli altri presenti sul mercato, produce in output una mappa di impatto nel caso più penalizzante, il così detto "WORST CASE", corrispondente alle ore in cui il sole permane al di sopra dell'orizzonte nell'arco dell'anno (ore di luce, ca. 4380 h/a), indipendentemente dalla presenza o meno di nubi, le quali inficerebbero il fenomeno stesso dello shadow flickering per l'impossibilità che si generino ombre.

Nello specifico, il worst case è caratterizzato dalle seguenti ipotesi:

- assenza di qualsiasi ostacolo naturale o artificiale (alberature, muri di cinta, edifici, ecc...), ad eccezione dell'orografia dell'area, frapposto tra i ricettori e gli aerogeneratori, tale da limitare o eliminare completamente il fenomeno dello shadow flickering;
- aerogeneratori sempre operativi;
- presenza di sole durante tutto il periodo diurno dell'anno (assenza di nubi);

 perpendicolarità tra il piano del rotore e la congiungente sole-ricettore (worst case wind direction), ovvero l'aerogeneratore insegue il sole;

Ciò considerato si evince che i risultati ai quali si perverrà risultano estremamente cautelativi, trattandosi di una stima puramente teorica.

Quindi, allo scopo di pervenire a valori più realistici di impatto, prossimi al caso reale (REAL CASE), si dovrebbe considerare il valore di eliofania locale, ovvero il numero di ore di cielo libero da nubi durante il giorno, e quello delle ore stimate di funzionamento dell'impianto eolico nell'arco dell'anno. Per l'area in esame il valore medio di eliofania corrisponde a circa 2400  $h/a^{1,2}$ , quindi, i risultati del calcolo possono, ragionevolmente, essere abbattuti del 49.77 %, pari al complemento a 1 del rapporto 2400/4380 = 54.79 %.

In altri termini, rispetto al WORST CASE, la probabilità di occorrenza del fenomeno di shadow flickering si riduce realisticamente, per l'area in esame, al 45.21 % del valore calcolato dal modello impiegato e che corrisponde proprio alla probabilità che il disco solare risulti libero da nubi.

Inoltre, dal momento che il fenomeno in esame è prodotto dalla contemporanea presenza di sole libero da nubi (potenzialità di generare ombre) e di velocità del vento superiori a quella di cut-in (rotore in moto), i valori calcolati dal modello (considerando la condizione più penalizzante di rotore permanentemente in moto) possono essere ulteriormente abbattuti di una percentuale corrispondente alle ore annue di effettivo funzionamento macchina rispetto al totale delle ore in un anno (8760 h).

Per il parco eolico in esame le ore macchina sono state stimate pari al 71.04%<sup>3</sup> delle ore anno, ovvero 6223 ore; in altri termini, la probabilità che il rotore di un aerogeneratore risulti in rotazione è appunto dell'ordine del 71.04 % (pari appunto al rapporto 6223/8760).

In definitiva, i valori calcolati dal modello numerico (ore di ombreggiamento intermittente all'anno presso i diversi ricettori individuati) possono, realisticamente, essere ridotti di un fattore pari al complemento a 1 del prodotto 71.04% x 54.79% =38.92 %, ovvero **61.8** %, corrispondente alla probabilità composta di avere contemporaneamente l'occorrenza di rotore in rotazione (vento) e sole libero da nubi (ombre), fenomeni, questi ultimi, stocasticamente indipendenti per cui la probabilità composta risulta pari al prodotto delle singole probabilità.

<sup>&</sup>lt;sup>3</sup> Considerando il report anemologico disponibile ed il fatto che la wtg prevista in progetto è caratterizzata da una velocità di cut-in dell'ordine di 3 m/s, le ore macchina dovrebbero essere dell'ordine del 73.22% di quelle annuali. Tenendo conto dei valori di disponibilità dell'impianto e della rete rispettivamente pari a 98% e 99%, l'assunzione del 71.04% sembra molto ragionevole.



<sup>&</sup>lt;sup>1</sup> Pinna M. (1985). L'eliofania in Italia. Mem. Soc. Geogr. It., 39: pag. 23-58.

<sup>&</sup>lt;sup>2</sup> Lavagnini A., Martorelli S., Coretti C. (1987). Radiazione solare in Italia. Mappe mensili della radiazione globale giornaliera. Roma, CNR, Ist. Fis. Atm., pag. 48.

## 5 Risultati

Al fine di verificare la presenza e l'intensità del fenomeno dello shadow flickering indotto dal parco eolico in progetto sono state effettuate una serie di simulazioni con software dedicato che hanno tenuto conto:

- della latitudine locale, allo scopo di considerare il corretto diagramma solare;
- della geometria effettiva delle macchine previste, ed in particolare dell'altezza complessiva di macchina, intesa come somma tra l'altezza del mozzo ed il raggio del rotore:
- dell'orientamento del rotore rispetto al ricettore;
- della posizione del sole e quindi della proiezione dell'ombra rispetto ai recettori;
- dell'orografia locale, tramite un modello digitale del terreno (DTM) dell'area di installazione del parco;
- della posizione dei possibili ricettori (abitazioni), nonché degli aerogeneratori (layout di progetto).

Come sopra accennato, le simulazioni effettuate sono state condotte in condizioni conservative, assumendo il cielo completamente sgombro da nubi, foschia, ecc. e nessun ostacolo interposto tra i ricettori individuati e gli aerogeneratori previsti in progetto.

Il programma effettua il calcolo delle ore del giorno in cui si potrebbe avere l'effetto del flickering sul ricettore considerato, facendo la somma dei minuti in cui il fenomeno risulta presente. Effettua poi la somma teorica dei minuti di ciascun mese (worst case) che poi può essere ridotta in considerazione delle giornate soleggiate, dell'operatività effettiva dell'impianto eolico, della direzione del vento ecc... Inoltre, avendo calcolato geometricamente l'evoluzione delle ombre durante la giornata, è possibile identificare l'area in cui avviene il fenomeno dello shadow flickering per ciascun aerogeneratore. Si ottengono così i dati sinteticamente riportati nella seguente tabella.

La frequenza dello shadow flickering è correlata alla velocità di rotazione del rotore; le frequenze tipiche per le macchine considerate nel presente progetto sono dell'ordine di 0.55-0.75 Hz (corrispondenti a 11 - 15 rpm, circa un passaggio ogni 1.8-1.3 secondi). In termini di impatto sulla popolazione, tali frequenze sono innocue; basti pensare che le lampade stroboscopiche, largamente impiegate nelle discoteche, producono frequenze comprese tra 5 e 10 Hz.

La tabella seguente riassume i risultati dell'analisi eseguita secondo la metodologia di calcolo descritta nelle sezioni precedenti.

Tabella 3: risultati del calcolo

| Ricettore | Worst case (caso peggiore) |          | Caso "realistico" | Catagoria catastala |
|-----------|----------------------------|----------|-------------------|---------------------|
| Ricettore | giorni/anno                | ore/anno | [ore/anno]        | Categoria catastale |
| R1        | 153                        | 104.8    | 16.8              | A/3                 |
| R2        | 167                        | 157.3    | 25.2              | A/3                 |
| R3        | 167                        | 164.9    | 26.5              | A/4 - C/2           |
| R4        | 166                        | 335.9    | 53.9              | A/4                 |
| R5        | 132                        | 147.1    | 23.6              | A/4                 |
| R6        | 186                        | 169.8    | 27.2              | A/3 - C/6           |
| R7        | 0                          | 0        | 0.0               | A/4                 |



|           | Worst case (cas | o peggiore) | Caso "realistico" |                     |
|-----------|-----------------|-------------|-------------------|---------------------|
| Ricettore | giorni/anno     | ore/anno    | [ore/anno]        | Categoria catastale |
| R8        | 48              | 27.8        | 4.5               | A/4                 |
| R9        | 0               | 0           | 0.0               | A/4                 |
| R10       | 155             | 148.5       | 23.8              | A/4 - C/2           |
| R11       | 130             | 70.1        | 11.2              | A/4                 |
| R12       | 117             | 58.4        | 9.4               | A4-C2-F3            |
| R13       | 0               | 0           | 0.0               | A/2                 |
| R14       | 0               | 0           | 0.0               | A/4 - C/2           |
| R15       | 0               | 0           | 0.0               | A/4 - C/2           |
| R16       | 0               | 0           | 0.0               | A/4 - C/2           |
| R17       | 106             | 80.5        | 12.9              | A/2 - C/6           |
| R18       | 101             | 90.7        | 14.6              | A/4 - C/2           |
| R19       | 97              | 38.8        | 6.2               | A/4                 |
| R20       | 103             | 45          | 7.2               | A/2                 |
| R21       | 70              | 28.3        | 4.5               | A/4 -C/2-6          |
| R22       | 137             | 95.3        | 15.3              | A/4 -C/2-6          |
| R23       | 143             | 105.2       | 16.9              | A/2                 |
| R24       | 78              | 45.5        | 7.3               | A/2                 |
| R25       | 71              | 47.7        | 7.7               | A/4                 |
| R26       | 67              | 53.6        | 8.6               | A/3                 |
| R27       | 64              | 44.2        | 7.1               | A/4                 |
| R28       | 87              | 28.9        | 4.6               | A/3                 |
| R29       | 85              | 28.6        | 4.6               | A/3 - C/2           |
| R30       | 86              | 25.2        | 4.0               | A/3                 |
| R31       | 57              | 17.6        | 2.8               | A/3                 |
| R32       | 80              | 23.1        | 3.7               | A/4                 |
| R33       | 104             | 46.7        | 7.5               | D/10                |
| R34       | 84              | 33.5        | 5.4               | A/4                 |
| R35       | 78              | 31.5        | 5.1               | A/3                 |
| R36       | 65              | 24.5        | 3.9               | A/3 - C/6           |
| R37       | 66              | 26.2        | 4.2               | A/3-C/2             |
| R38       | 66              | 25.9        | 4.2               | A/2                 |
| R39       | 70              | 27.8        | 4.5               | A/2                 |
| R40       | 118             | 54.7        | 8.8               | A/4                 |
| R41       | 56              | 17.4        | 2.8               | A/4                 |
| R42       | 49              | 14.5        | 2.3               | A/4 - C/2           |
| R43       | 60              | 30.2        | 4.8               | A/2 - C/2           |
| R44       | 36              | 12.8        | 2.1               | A/4                 |
| R45       | 35              | 12.8        | 2.1               | A/4 - C/6           |
| R46       | 35              | 12.9        | 2.1               | A/2 - C/2           |
| R47       | 36              | 13.6        | 2.2               | A/4 - C/2           |
| R48       | 30              | 4.7         | 0.8               | A/4 - C/2           |
| R49       | 32              | 3.3         | 0.5               | A/4                 |



| Ricettore | Worst case (cas | o peggiore) | Caso "realistico" | Categoria catastale |  |  |
|-----------|-----------------|-------------|-------------------|---------------------|--|--|
| Micettore | giorni/anno     | ore/anno    | [ore/anno]        | Categoria catastale |  |  |
| R50       | 26              | 1.5         | 0.2               | A/4                 |  |  |
| R51       | 15              | 0.2         | 0.0               | A/3                 |  |  |
| R52       | 11              | 0.1         | 0.0               | A/4 - C/6           |  |  |
| R53       | 0               | 0           | 0.0               | A/4 - C/6           |  |  |
| R54       | 24              | 0.8         | 0.1               | A/4                 |  |  |
| R55       | 54              | 4.6         | 0.7               | A/4                 |  |  |
| R56       | 32              | 0.9         | 0.1               | A/4 - C/2           |  |  |
| R57       | 29              | 0.5         | 0.1               | A/4                 |  |  |
| R58       | 8               | 0           | 0.0               | A/4                 |  |  |
| R59       | 70              | 18.8        | 3.0               | A/4 - C/2           |  |  |
| R60       | 19              | 1.1         | 0.2               | A/2 - C/6           |  |  |
| R61       | 16              | 0.7         | 0.1               | A/4                 |  |  |
| R62       | 14              | 0.4         | 0.1               | A/2 - C/6           |  |  |
| R63       | 0               | 0           | 0.0               | A/2 - C/2           |  |  |
| R64       | 0               | 0           | 0.0               | A/4                 |  |  |
| R65       | 0               | 0           | 0.0               | A/4                 |  |  |
| R66       | 0               | 0           | 0.0               | C/2 - A/2           |  |  |
| R67       | 0               | 0           | 0.0               | C/2 - A/2           |  |  |
| R68       | 0               | 0           | 0.0               | A/4                 |  |  |
| R69       | 0               | 0           | 0.0               | A/4                 |  |  |
| R70       | 0               | 0           | 0.0               | A/4 - C/2           |  |  |
| R71       | 9               | 0.3         | 0.0               | A/2-C1-2-3          |  |  |
| R72       | 8               | 0.5         | 0.1               | A/2                 |  |  |
| R73       | 4               | 0.2         | 0.0               | A/4                 |  |  |
| R74       | 0               | 0           | 0.0               | A/2-C/1-6           |  |  |
| R75       | 31              | 4           | 0.6               | A/4                 |  |  |
| R76       | 34              | 3.6         | 0.6               | C/2 - A/2           |  |  |
| R77       | 46              | 9.6         | 1.5               | A/4                 |  |  |
| R78       | 16              | 1.6         | 0.3               | C/2 - A/4           |  |  |
| R79       | 0               | 0           | 0.0               | C/2 - A/2           |  |  |
| R80       | 72              | 18.9        | 3.0               | A/4-C/2-6           |  |  |
| R81       | 97              | 20.6        | 3.3               | A/4 - C/6           |  |  |
| R82       | 28              | 9.7         | 1.6               | A/2 - C/2           |  |  |
| R83       | 29              | 9.4         | 1.5               | A/2                 |  |  |
| R84       | 28              | 9.1         | 1.5               | A/4 - C/6           |  |  |
| R85       | 29              | 9.4         | 1.5               | A/4                 |  |  |
| R86       | 83              | 19          | 3.0               | A/2 - C/2           |  |  |
| R87       | 76              | 17.2        | 2.8               | A/4-C/2-6           |  |  |
| R88       | 78              | 18.7        | 3.0               | A/4                 |  |  |
| R89       | 79              | 18.7        | 3.0               | A/4                 |  |  |
| R90       | 84              | 20.7        | 3.3               | A/4 - C/2           |  |  |
| R91       | 77              | 18.9        | 3.0               | D/10 - C/3          |  |  |



| Ricettore | Worst case (caso peggiore) |          | Caso "realistico" | Categoria catastale |
|-----------|----------------------------|----------|-------------------|---------------------|
|           | giorni/anno                | ore/anno | [ore/anno]        | Categoria Catastale |
| R92       | 70                         | 15.3     | 2.5               | A/4                 |
| R93       | 22                         | 6.3      | 1.0               | A/4                 |
| R94       | 59                         | 11.4     | 1.8               | A/4                 |
| R95       | 74                         | 18.1     | 2.9               | A/4                 |
| R96       | 71                         | 17.1     | 2.7               | A/2 - C/2           |
| R97       | 59                         | 11.1     | 1.8               | A/4 - C/2           |
| R98       | 33                         | 7.3      | 1.2               | A/4                 |
| R99       | 0                          | 0        | 0.0               | A/4 - C/6           |
| R100      | 0                          | 0        | 0.0               | A/4 - C/6           |
| R101      | 0                          | 0        | 0.0               | A/2 - C/6           |
| R102      | 0                          | 0        | 0.0               | A/4 - C/2           |
| R103      | 0                          | 0        | 0.0               | A/4                 |
| R104      | 22                         | 2.4      | 0.4               | A/4                 |
| R105      | 30                         | 2.3      | 0.4               | A/4 -C/2-6          |
| R106      | 0                          | 0        | 0.0               | A/2 - C/2           |
| R107      | 0                          | 0        | 0.0               | A/2                 |
| R108      | 0                          | 0        | 0.0               | A/4 - C/6           |
| R109      | 0                          | 0        | 0.0               | C/2 - A/4           |
| R110      | 0                          | 0        | 0.0               | C/2 - A/4           |
| R111      | 0                          | 0        | 0.0               | A/4                 |
| R112      | 0                          | 0        | 0.0               | A/4-C/6             |
| R113      | 0                          | 0        | 0.0               | A/4-C/6             |
| R114      | 0                          | 0        | 0.0               | A/4                 |
| R115      | 0                          | 0        | 0.0               | A/4                 |

Nello specifico, la tabella precedente riporta il numero di giorni e di ore in cui è fisicamente possibile che il fenomeno si presenti (caso peggiore) e il valore realistico atteso di ore nell'arco dell'anno in cui il fenomeno potrebbe presentarsi. A tal proposito è importante sottolineare che anche il caso realistico, valutato tenendo conto dell'eliofania locale nonché delle ore di funzionamento dell'impianto (rotore in rotazione), rappresenta comunque un valore cautelativo in quanto nella stima non si è tenuto conto degli effetti mitigativi dovuti al fatto che il piano di rotazione delle pale non sempre risulta ortogonale alla direttrice sole-ricettore e all'eventuale presenza di ostacoli e/o vegetazione interposti tra il sole ed il singolo ricettore analizzato.

Dall'analisi della tabella si evince che, dei ricettori considerati nel buffer di 1700 m dagli aerogeneratori, solo un fabbricato, classificati come abitazione, risultano essere soggetti al fenomeno per un numero di ore superiore a 30 nel corso dell'anno. Inoltre, **nessuna** abitazione risulta soggetta ad una durata superiore a 30 minuti al giorno.

Il dettaglio dei fabbricati che potrebbero essere soggetti al fenomeno dello shadow flickering è riportato nella tavola grafica allegata alla presente relazione.

In linea generale, l'effetto si può considerare trascurabile per via della scarsa durata del fenomeno che si riduce, nel caso realistico, a poche ore l'anno.

Infatti, se si considera il grafico della frequenza relativa alla direzione di provenienza del vento (figura successiva) per la torre anemometrica del parco eolico in oggetto si evince che i risultati sopra riportati possono essere ridotti di almeno un ulteriore 40.0 %, dal momento che le direzioni prevalenti del vento risultano essere: NNE-SSO. Alla luce di ciò, le ore del fenomeno subiscono un ulteriore abbattimento, che le porta ad essere circa il 16.04% di quelle calcolate dal modello nell'ipotesi WORST CASE.

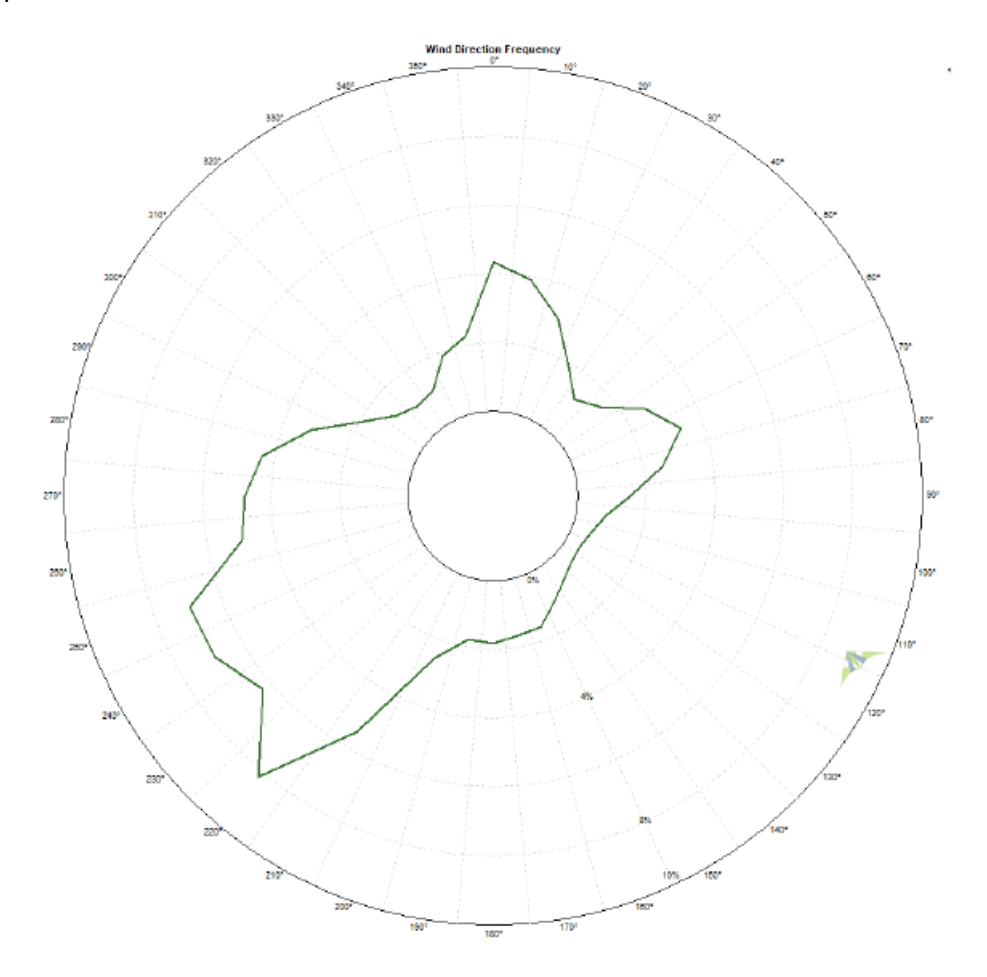


Figura 2: frequenza della direzione di provenienza del vento per la torre anemometrica di riferimento

Inoltre si rappresenta che si tratta di fenomeni:

- limitati nello spazio, in quanto relativi solo a tre edifici molto prossimi;
- episodici durante l'anno e localizzati all'alba o al tramonto;
- di breve durata nel corso della giornata, in quanto ciascun edificio è interessato solo per un breve periodo;

 limitati come intensità, dal momento che la luce del sole, in condizioni di alba o tramonto, risulta di intensità modesta e, quindi, è modesta anche la variazione dovuta allo shadow flickering.

#### Va altresì sottolineato che:

 la velocità di rotazione dell'aerogeneratore di progetto è dell'ordine di 11 rotazioni al minuto, quindi nettamente inferiore a 60 rpm, frequenza massima raccomandata al fine di ridurre al minimo i fastidi e soddisfare le condizioni di benessere;

Alla luce di quanto sopra esposto, al fine di ridurre e/o annullare completamente il fenomeno in oggetto e di eliminare completamente qualunque disturbo indotto sulle abitazioni interessate potrà essere prevista, di concerto con i proprietari dell'immobile, come intervento di mitigazione, la piantumazione di barriere sempreverdi (normali siepi di recinzione).

Le distanze reciproche tra generatori eolici e ricettori, le condizioni orografiche del sito considerato, determinano la pressoché totale assenza del fenomeno in esame. In aggiunta, il fenomeno si manifesta su un numero limitatissimo di ricettori esclusivamente quando il sole presenta un'altezza inferiore ai 15° sull'orizzonte, pertanto può ritenersi trascurabile, per l'elevata intensità della radiazione diffusa rispetto a quella diretta.

È comunque utile sottolineare che, a vantaggio di sicurezza, le simulazioni effettuate sono state eseguite in condizioni non realistiche, ipotizzando che si verifichino contemporaneamente le condizioni più sfavorevoli per un determinato ricettore potenzialmente soggetto a shadow flickering, ovvero concomitanza dei seguenti fattori: assenza di nuvole o nebbia, rotore frontale ai ricettori, rotore in movimento continuo, assenza di ostacoli, luce diretta. Pertanto, si sottolinea che i risultati presentati rappresentano il caso peggiore in cui si verificano i fattori sopra esposti in concomitanza per cui è ragionevole ritenere che tale fenomeno possa essere difficilmente percepito nelle condizioni reali.

In allegato è riportata la mappa delle ore di ombreggiamento (shadow flickering) nel worst case così come elaborata dal modello impiegato.